

# ЭКСИТОННЫЕ СПЕКТРЫ КРИСТАЛЛОВ ZnS С ДЕФЕКТАМИ УПАКОВКИ

А.И.Рыскин, Л.Г.Суслова, Г.И.Хилько, Е.Б.Шадрин

ZnS – типичный представитель обширной группы кристаллов, имеющих две полиморфные модификации – кубическую (сфалерит) и гексагональную (вюртцит) [1]. Структуры сфалерита (вюртцита) можно представить, как две взаимопроникающие плотнейшие кубические (гексагональные) упаковки ионов серы и цинка. При росте кристаллов плоскостью плотнейшей упаковки возможно образование дефектов, т.е. неправильно уложенных слоев плотнейшей упаковки. Таким образом, в кубическом ZnS возникают слои, уложенные в соответствии с гексагональной упаковкой (и наоборот). Если охарактеризовать кристалл вероятностью  $\alpha$  того, что слой плотнейшей упаковки будет дефектным и положить в сфалерите  $\alpha = 0$ , то в сфалерите с дефектами упаковки  $0 < \alpha < 1$ , а вюртцит можно рассматривать как структуру с  $\alpha = 1$ .

Экситонные спектры кубического и гексагонального ZnS известны [2,3]. В настоящей работе исследованы экситонные спектры кристаллов ZnS со значительной концентрацией дефектов упаковки.

Были сняты спектры отражения кристаллов четырех типов. 1. Сфалерит, полученный по методу гидротермального синтеза. Кристаллы весьма совершенны по структуре ( $\alpha = 0$ ). 2. Сфалерит, выращенный из расплава под давлением. Большое количество дефектов упаковки делает кристаллы анизотропными\* ( $\alpha = 0,10^{**}$ ). 3. Сфалерит, выращенный по тому же методу, но с добавкой 0,01% Al; введение примеси стимулирует образование дефектов и увеличивает  $\alpha$  до 0,25. 4. Вюртцит, выращенный из газовой фазы, совершенные кристаллы ( $\alpha = 1$ ).

Съемка спектров производилась при  $T = 4,2^{\circ}\text{K}$ . Линии отражения (угол отражения  $25^{\circ}$ ) имели форму нормальной дисперсионной кривой. За резонансную частоту принималась середина между максимумом и минимумом дисперсионной кривой. На рис.1 схематически изображены

\* В сфалерите четыре плоскости плотнейшей упаковки – {111}, в каждой из которых может, в принципе, образоваться дефект упаковки. Однако, кристалл растет определенной плоскостью {111} и дефекты упаковки образуются именно в ней; это выделяет одну ось третьего порядка [111] из четырех (в области дефекта упаковки она совпадает с осью [0001] вюртцита), что приводит к анизотропии кристалла.

\*\*  $\alpha$  определено по величине двупреломления  $\delta n$  в предположении, что  $\delta n$  пропорционально числу слоев, уложенных в соответствии с гексагональной плотнейшей упаковкой, т.е., что  $\delta n = \alpha d n_0$  ( $d n_0$  – двупреломление вюртцита). Вышеприведенное соотношение было проверено на политипах ZnS (структурных с регулярным чередованием кубической и гексагональной упаковок), для которых возможно независимое определение  $\delta n$  и  $\alpha$  [4].

спектры исследованных кристаллов. Для сравнения на рис.2 представлены структуры энергетических зон сфалерита и вюрцита в точке  $k=0$ \*\*\*. Тригональная составляющая кристаллического поля расщепляет зону  $\Gamma_8$  сфалерита на две зоны  $\Gamma_9$  и  $\Gamma_7$ , (а также смещает зоны  $\Gamma_8$  и  $\Gamma_6$ ). Можно также отметить, что ширина запрещенной зоны, равно как и спин-орбитальное расщепление в вюрците больше, чем в сфалерите.

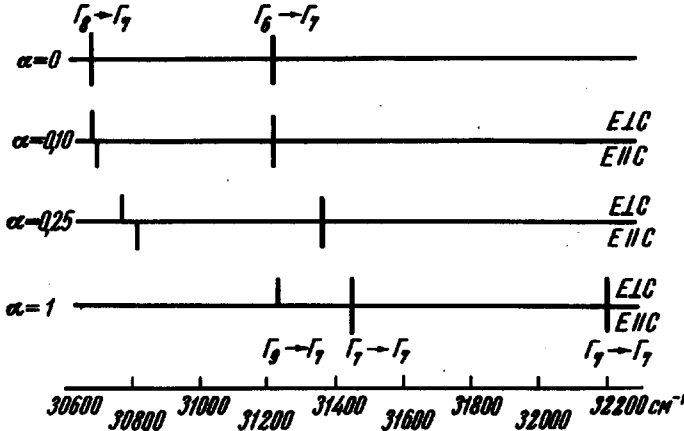


Рис.1

На рис.2 видно, что возникновение в кристаллах сфалерита дефектов упаковки приводит к расщеплению и смещению экситонных линий; оба эффекта возрастают с увеличением концентрации дефектов упаковки\*\*\*\*. Эти изменения в спектре, очевидно, являются следствием расщепления и смещения энергетических зон сфалерита под влиянием среднего поля V дефектов упаковки, нерегулярно распределенных по кристаллу (вдоль оси третьего порядка) \*\*\*\*\*.

Таким образом, по отношению к экситону большого радиуса\*\*\*\*\* кристалл с дефектами упаковки выступает как новая среда с параметрами, зависящими от концентрации дефектов упаковки.

Представляет интерес исследовать зависимость  $V(\alpha)$ . Можно думать, что при малых значениях  $\alpha$ , когда расстояние между дефектами упаковки становится соизмеримым с  $R$ , экситон перестает воспринимать дефекты упаковки в среднем и только рассеивается на них.

---

\*\*\* Ввиду того, что энергия связи экситона в ZnS мала ( $\sim 0,05 \text{ эВ}$ ) экситонный спектр непосредственно отражает структуру энергетических зон кристалла в точке  $\vec{k} = 0$ .

\*\*\*\* Изменения в узколинейчатых спектрах кристаллов ZnS с дефектами упаковки отмечены в работе [5].

\*\*\*\*\* На возможность введения среднего потенциала при рассмотрении зонной схемы кристаллов ZnS с дефектами упаковки впервые указал Бирман [6].

\*\*\*\*\* Боровский радиус экситона в ZnS  $R = 30 \text{ \AA}$  [3].

Действительно, анализ экспериментальных данных показывает, что смещение и расщепление экситонных линий сфалерита нелинейно зависит от  $\alpha$  и, в частности, при  $\alpha = 0,10$  непропорционально мало (порядка одного процента от смещения и расщепления линий при переходе от сфалерита к вюрциту)\*\*\*\*\*.

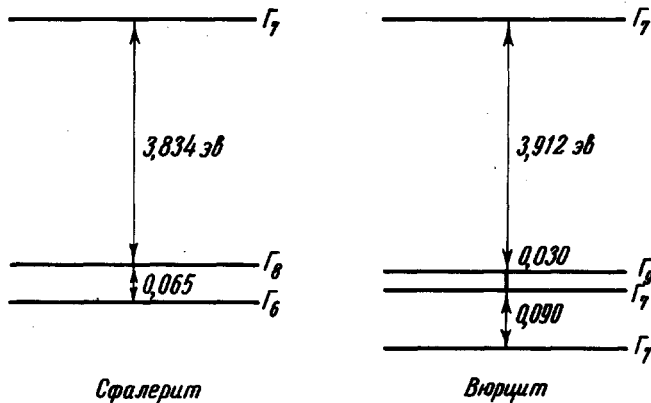


Рис.2

Напротив, для политипов ZnS (в области  $0,1 < \alpha < 0,5$ ) найдено, что граница собственного поглощения расщепляется (в двух поляризациях) и смещается линейно в зависимости от  $\alpha$  [4]. По-видимому, различный характер зависимости от  $\alpha$  в этих двух случаях обусловлен тем, что при междузонных переходах генерируются электроны с  $k \sim 2\pi/\lambda$  ( $\lambda \approx 3000 \text{ \AA}$  — длина волны, соответствующая краю собственного поглощения), а при построении волновой функции экситона используется область  $k$  — пространства с  $(k) \sim \pi/R$ .

Поскольку  $\lambda >> R$ , усреднение по дефектам упаковки в первом случае происходит вплоть до значительно меньших значений  $\alpha$ , чем во втором, и отклонения от линейности при  $\alpha \approx 0,1$  для междузонных переходов будут пренебрежимо малы.

Мы признательны В.Н.Войцеховскому, К.К.Дубенскому и К.Н.Ивановой за выращивание кристаллов и Э.И.Рашбе за обсуждение результатов.

Государственный  
Оптический институт  
им. С.И. Вавилова

Поступило в редакцию  
23 февраля 1968 г.

\*\*\*\*\* При  $\alpha = 0,10$  среднее расстояние между дефектами упаковки  $\ell = d/\alpha$  ( $d = 3,1 \text{ \AA}$  — расстояние между двумя слоями плотнейшей упаковки) равно  $31 \text{ \AA}$ , т.е. практически совпадает с  $R$ .

## Литература

- [1] A.R.Varma, P.Krishna. *Polymorphism and polytypism in crystals*, John Wiley and Sons, New York, 1966.
- [2] A.Lempicki, J.Birman, H.Samelson, G.Newmark. Proc. Int. Conf. Semiconductors phisics, Paris, 1964, 877.
- [3] J.C.Miklosz, R.G.Wheeler. *Phys. Rev.*, 153, 913, 1967.
- [4] O.Brafman, J.T.Steinberger. *Phys. Rev.*, 143, 501, 1966.
- [5] K.B.Шалимова, Н.К.Морозова. Оптика и спектроскопия, 19, 939, 1965.
- [6] J.L.Birman. *Phys. Rev.*, 115, 1493, 1959.